

**РЕШЕНИЕ ЗАДАЧИ ОБ ОБТЕКАНИИ ПОЛУБЕСКОНЕЧНОЙ
ПЛАСТИНКИ ПОТОКОМ РАЗРЕЖЕННОГО ГАЗА ПОСТОЯННОЙ
ПЛОТНОСТИ МЕТОДОМ ИНТЕГРАЛЬНОЙ ДИФФУЗИИ**

A. T. Onufriev

(Новосибирск)

В ряде работ [1-4] предложены приближенные модели диффузии, которые могут быть использованы при рассмотрении процесса переноса в разреженном газе, когда длина свободного пробега велика и перенос не определяется локальным градиентом соответствующей величины.

В настоящей работе модель интегральной диффузии [2] применена для решения задачи об определении величин напряжения трения и скорости потока несжимаемого газа около плоской полубесконечной пластиинки во всем диапазоне числа Кнудсена. Полученное решение сравнивается с имеющимися в литературе решениями [5-8] и экспериментальными данными [9].

1. Течение разреженного газа при постоянных значениях плотности, скорости звука, длины свободного пробега молекул в пограничном слое у плоской полубесконечной пластиинки описывается системой уравнений [2]:

$$\begin{aligned} \rho u \frac{\partial u}{\partial x} + \rho v \frac{\partial u}{\partial y} &= \mu \frac{\partial^2 \varphi}{\partial y^2}, & \frac{\partial u}{\partial x} + \frac{\partial v}{\partial y} &= 0 \\ \frac{4}{3} \Lambda \frac{\partial \tau}{\partial y} &= \rho c (u - \varphi), & \tau &= - \frac{\rho c \Lambda}{3} \frac{\partial \varphi}{\partial y} = - \mu \frac{\partial \varphi}{\partial y} \end{aligned}$$

с граничными условиями

$$y = 0, \quad v = 0, \quad \frac{\varphi}{2} = \frac{2-\sigma}{\sigma} \frac{\Lambda}{3} \frac{\partial \varphi}{\partial y}, \quad y \rightarrow \infty, \quad u = u_0$$

и начальным условием $x = 0; u = u_0$

Здесь σ — коэффициент диффузного отражения.

Вводятся безразмерные переменные

$$\begin{aligned} u' &= \frac{u}{u_0}, & v' &= \frac{v}{u_0 \beta}, & x' &= \beta \frac{3x}{2\Lambda}, & y' &= \frac{3y}{2\Lambda} \\ \varphi' &= \frac{\varphi}{u_0}, & \beta &= \frac{1}{M} \left(\frac{2}{\pi \gamma} \right)^{1/2} = \frac{3\mu}{2\Lambda \rho u_0} \end{aligned}$$

Система уравнений принимает вид

$$\begin{aligned} u' \frac{\partial u'}{\partial x'} + v' \frac{\partial u'}{\partial y'} &= \frac{\partial^2 \varphi'}{\partial y'^2} \\ \frac{\partial^2 \varphi'}{\partial y'^2} &= \varphi' - u', & \frac{\partial u'}{\partial x'} + \frac{\partial v'}{\partial y'} &= 0 \end{aligned} \tag{1.1}$$

с граничными условиями

$$y' = 0, \quad v' = 0, \quad \varphi' = A \frac{\partial \varphi'}{\partial y'}, \quad \left(A = \frac{2-\sigma}{\sigma} \right), \quad y' = \infty, \quad u' = 1,$$

и начальным условием

$$x' = 0, \quad u' = 1$$

Величина напряжения трения на стенке определяется выражением

$$\tau(0, x') = -\frac{\rho c u_0}{2} \frac{\partial \varphi'}{\partial y'} = \frac{\rho c}{2A} \varphi(0, x')$$

или

$$c_f M = \frac{2\sigma}{2-\sigma} \left(\frac{2}{\pi\gamma}\right)^{1/2} \varphi'(0, x'), \quad x' = \beta \frac{3x}{2\Lambda} = \frac{2}{\pi\gamma} \frac{R}{M^2} = z^2$$

Здесь γ — отношение удельных теплоемкостей, R — число Рейнольдса, при этом

$$\begin{aligned} \frac{2}{\pi\gamma} &= 0.383, \quad \frac{R^{1/2}}{Mz} = 1.61 \quad \text{при } \gamma = \frac{5}{3} \\ \frac{2}{\pi\gamma} &= 0.456, \quad \frac{R^{1/2}}{Mz} = 1.48 \quad \text{при } \gamma = \frac{7}{5} \end{aligned}$$

Из системы уравнений, исключив величину φ' , можно получить уравнение для величины скорости газа u'

$$\begin{aligned} u' \frac{\partial u'}{\partial x'} - \left(\int_0^{y'} \frac{\partial u'}{\partial x'} dy' \right) \frac{\partial u'}{\partial y'} &= \frac{\partial^2 u'}{\partial y'^2} + \frac{\partial u'}{\partial x'} \frac{\partial^2 u'}{\partial y'^2} + \\ + u' \frac{\partial^3 u'}{\partial x' \partial y'^2} - \frac{\partial u'}{\partial y'} \frac{\partial^2 u'}{\partial x' \partial y'} - \left(\int_0^{y'} \frac{\partial u'}{\partial x'} dy' \right) \frac{\partial^3 u'}{\partial y'^3} & \end{aligned} \quad (1.2)$$

с граничными условиями

$$y' = 0, \quad u' + u' \frac{\partial u'}{\partial x'} = A \left[\frac{\partial u'}{\partial y'} + u' \frac{\partial^2 u'}{\partial x' \partial y'} \right], \quad y' = \infty, \quad u' = 1$$

и начальным условием

$$x' = 0, \quad u' = 1$$

2. Уравнение для u' решалось методом конечных разностей в переменных z и $\xi = \ln(y' + \Delta)$. После введения переменной ξ оно имеет вид

$$\begin{aligned} u' \left[\frac{\partial u'}{\partial x'} \right] - \left(\sum_{\xi_0}^{\xi} \left[\frac{\partial u'}{\partial x'} \right] e^{-\xi} d\xi \right) e^{-\xi} \frac{\partial u'}{\partial \xi} &= \left[\frac{\partial u'}{\partial x'} \right] e^{-2\xi} \left(\frac{\partial^2 u'}{\partial \xi^2} - \frac{\partial u'}{\partial \xi} \right) + e^{-2\xi} \left[\frac{\partial^2 u'}{\partial \xi^2} - \frac{\partial u'}{\partial \xi} \right] + \\ + u' e^{-2\xi} \left[\frac{\partial^3 u'}{\partial x' \partial \xi^2} - \frac{\partial^2 u'}{\partial x' \partial \xi} \right] - e^{-2\xi} \frac{\partial u'}{\partial \xi} \left[\frac{\partial^2 u'}{\partial \xi \partial x'} \right] - e^{-3\xi} \left(\frac{\partial^3 u'}{\partial \xi^3} - 3 \frac{\partial^2 u'}{\partial \xi^2} + 2 \frac{\partial u'}{\partial \xi} \right) \sum_{\xi_0}^{\xi} \left[\frac{\partial u'}{\partial x'} \right] e^{\xi} d\xi & \end{aligned}$$

с граничными условиями

$$\begin{aligned} \xi_0 = \ln \Delta, \quad u' + u' \frac{\partial u'}{\partial x'} &= Ae^{-\xi} \left[\frac{\partial u'}{\partial \xi} + u' \frac{\partial^2 u'}{\partial x' \partial \xi} \right] \\ \xi = \infty; \quad x' = 0, \quad u' = 1 & \end{aligned}$$

Справа стоят слагаемые, разности для которых записывались с учетом $(n+1)$ -го слоя (n — номер узла вдоль x'); нужно учесть, что одна из характеристик системы (1.1) в начальном сечении направлена горизонтально. При записи разностного уравнения использована схема, примененная в работе [10].

Величина напряжения трения определяется методом прогонки из уравнения

$$\frac{\partial^2 \varphi'}{\partial y'^2} = \varphi' - u'$$

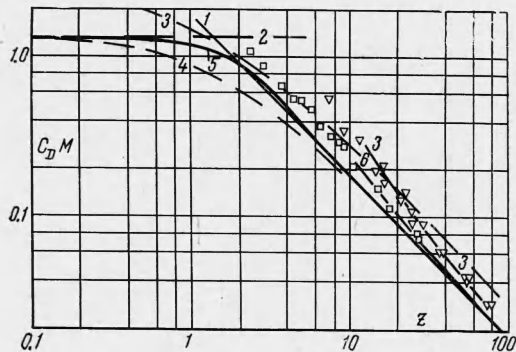
с граничными условиями

$$y' = 0, \quad \varphi' = A \frac{\partial \varphi'}{\partial y'}, \quad y' = \infty, \quad \varphi' = 1.$$

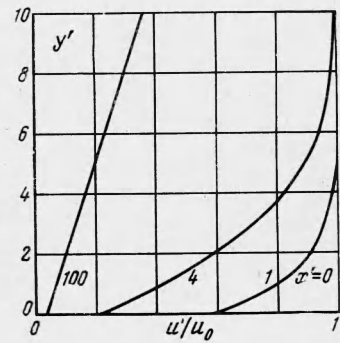
3. Рассмотрим результаты расчетов. Величины интервалов были $\Delta\xi = 0.05$ и 0.07 ; $\Delta z = 0.02$ и 0.01 . Сравнение просчетов с разными шагами показало, что погрешность при $x' = 1$ была $\sim 0.3\%$.

z	$\sigma = 0.1$		$\sigma = 0.8$	
	$u'(0, z)$	$\varphi'(0, z)$	$u'(0, z)$	$\varphi'(0, z)$
0	1.0	0.5	1.0	0.6
0.1	0.996	0.499		
0.2	0.983	0.496		
0.3	0.959	0.490		
0.4	0.928	0.481		
0.6	0.836	0.457		
0.8	0.719	0.424		
1.0	0.590	0.383	0.675	0.489
2.0	0.216	0.202	0.316	0.295
3	0.128	0.125	0.194	0.190
4	0.0904	0.0898	0.138	0.137
6	0.0576	0.0575	0.0872	0.0870
8	0.0424	0.0424	0.0640	0.0640
10	0.0337	0.0337	0.0507	0.0507
20	0.0166	0.0166	0.0249	0.0249
30	0.0111	0.0111	0.0166	0.0166

В таблице приведены результаты для величин $u'(0, z)$ и $\varphi'(0, z)$ в зависимости от z при $\sigma = 1$ и $\sigma = 0.8$.

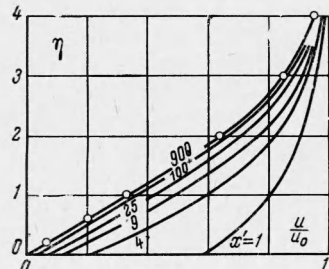


Фиг. 1



Фиг. 2

В работе [6] приводится сравнение результатов различных расчетов с экспериментальными данными работы [9]. Это сравнение воспроизведено на фиг. 1, где приводятся также результаты настоящей работы. Величина



Фиг. 3

$$C_D M = \frac{2}{x'} \int_0^{x'} C_f M dx' = \\ = 4 \left(\frac{2}{\pi \gamma} \right)^{1/2} \frac{\sigma}{2 - \sigma} \frac{1}{x} \int_0^{x'} \varphi'(0, x') dx'$$

Для свободно-молекулярного течения ($x' = 0$)

$$C_{D_1} M = 2\sigma \sqrt{2/\pi\gamma}$$

$$\varphi(0, 0) = 0.5, \quad C_{D_1} M = 1.35 \quad \text{при } \sigma = 1.0$$

$$\varphi(0, 0) = 0.6, \quad C_{D_1} M = 1.08 \quad \text{при } \sigma = 0.8$$

На фиг. 1: кривая 1 — решение Блазиуса для несжимаемого пограничного слоя; 2 — теория свободно-молекулярного течения; 3 — теория течения со скольжением

в приближении Рэлея [5]; 4 — результаты расчетов по приближенному методу работы [6]; 5 — результаты расчетов по методу интегральной диффузии; 6 — зависимость после введения поправки [7] на конечную длину пластиинки при $M = 0.60$ и 7 — то же при $M = 0.18$. Экспериментальные данные [9]: треугольники для $0.16 < M < 0.21$, квадратики для $0.46 < M < 0.72$.

На фиг. 2 и 3 показано получившееся распределение скорости в поперечном сечении пограничного слоя на различных расстояниях от переднего края пластиинки, на фиг. 4 — распределение скорости вдоль пластиинки. На фиг. 4: кривая 1 — расчет

